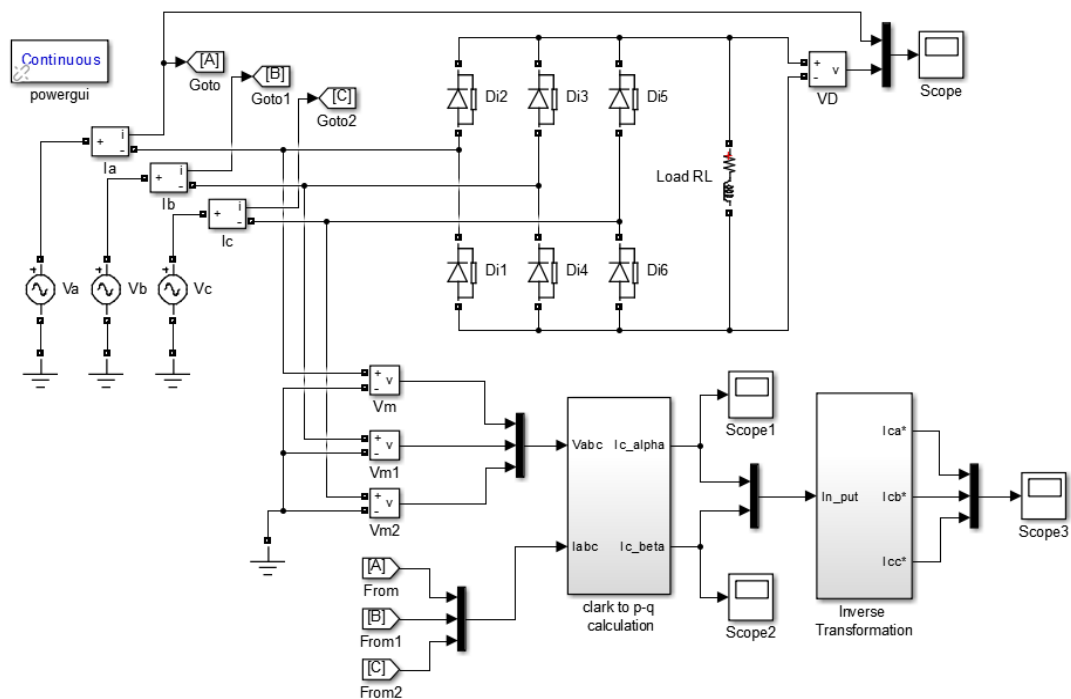


บทที่ 4

ผลการทดลองการสร้างแบบจำลองกระแสอ้างอิง

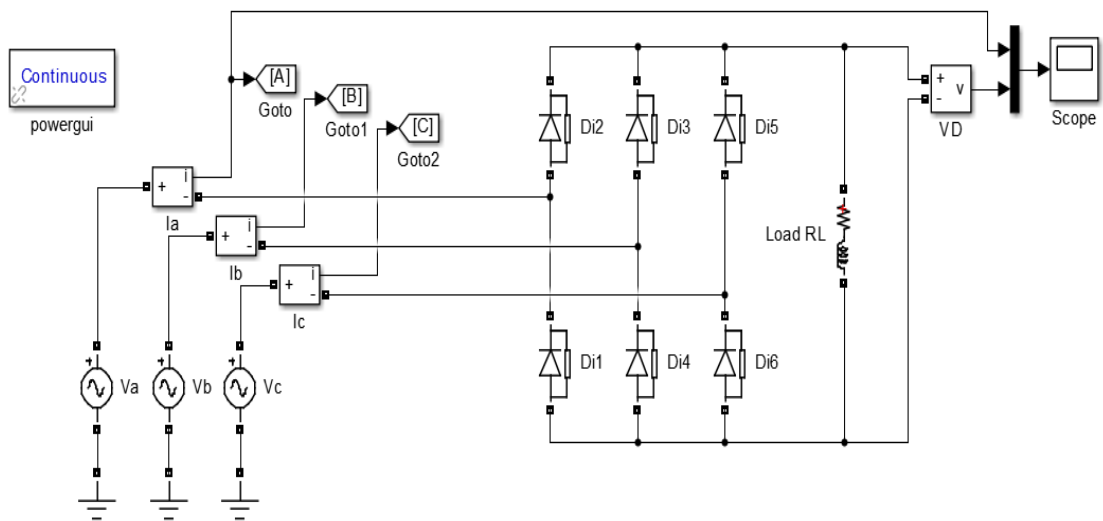
สำหรับตัวกรองแบบแอกทีฟ วิธี พี-คิว ด้วยโปรแกรม SIMULINK

ในบทนี้จะกล่าวถึงผลการทดลองจากแบบจำลองที่นำเสนอไปแล้ว โดยเริ่มต้นจากโครงสร้างของแบบจำลอง จะทำการจำลองด้วยสมการอนุพันธ์แบบ ODE45 ทำการวัด Waveform แรงดันที่แหล่งจ่าย และแรงดันก่อนและหลังจากการแปลงพิกัด และ ค่ากำลังไฟฟ้าจริงและค่ากำลังไฟฟ้าเสมือน ค่าสุดท้ายจะเป็นรูปคลื่นของกระแสอ้างอิง หลังจากแปลงกลับเป็นพิกัด abc เพื่อนำไปใช้ในกระแสอ้างอิง ต่อไป

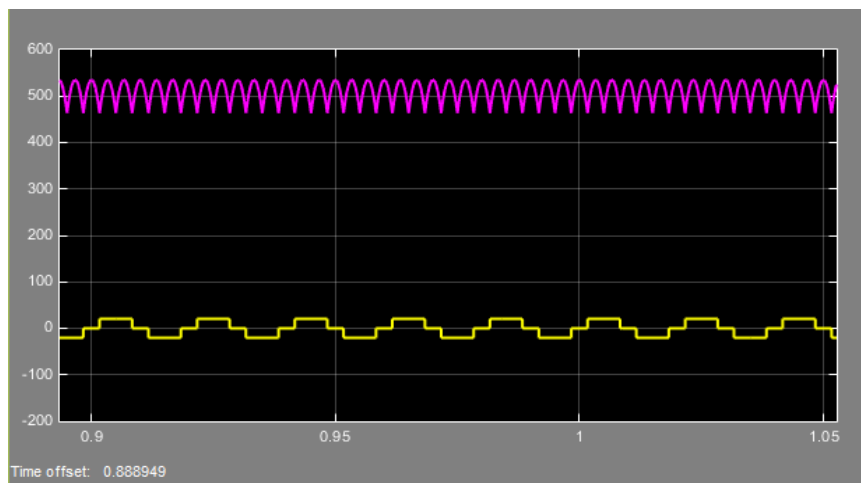


ภาพที่ 4.1 โครงสร้างแบบจำลองกระแสอ้างอิง สำหรับตัวกรองแบบแอกทีฟ วิธี พี-คิว

4.1 การวัดแรงดันเอาต์พุตและกระแสอินพุตของคอนเวอร์เตอร์ AC/DC 3 เฟสแบบ 6 พัลส์



ภาพที่ 4.2 เฟสเซอร์ไดโอดแกรมการแปลงแกนสามเฟสเป็นแกน $\alpha\beta$

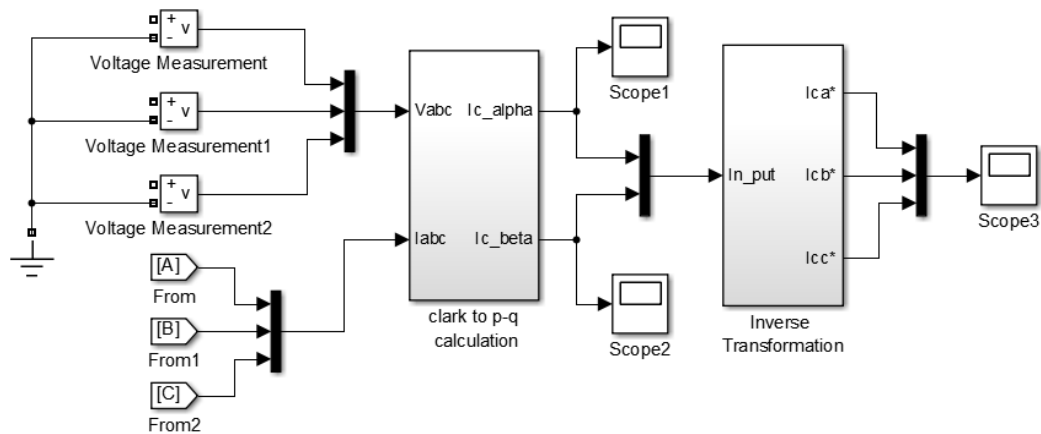


ภาพที่ 4.3 สัญญาณรูปคลื่นแรงดัน(สีม่วง)และกระแส(สีเหลือง) ที่มีฮาร์มอนิกในระบบ

จากภาพที่ 4.2 และ 4.3 แสดงจจจรการทดลองใน โปรแกรมSimulinkและผลของรูปคลื่นที่แสดงในภาพ 4.3 จะป็นด้วยแรงดันเอาต์พุตแบบ 6 พัลส์ของคอนเวอร์เตอร์ AC/DC 3 เฟสจ่าย โหลดเหนี่ยวนำขนาดใหญ่ทำให้เกิดความผิดเพี้ยนของกระแสใน Line 3 เฟส ดังรูปด้านบนซึ่งจะเกิดฮาร์มอนิกลำดับที่ 1,3,5,7

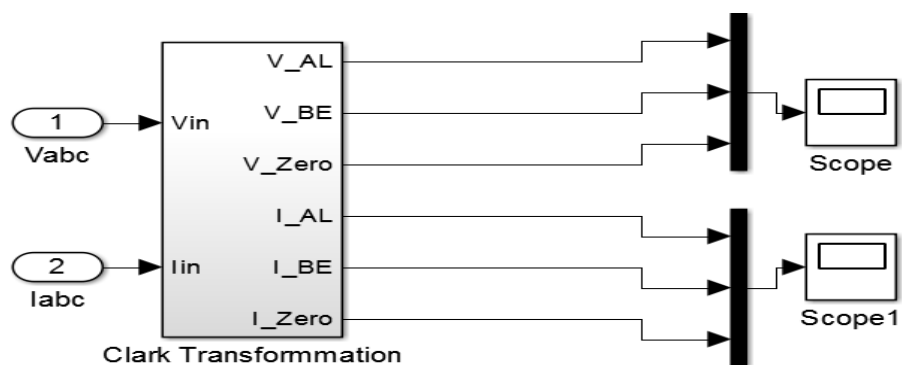
4.2 การวัดผลการหาค่ากำลังไฟฟ้าตามวิธีของ P-Q Theory

ชุดตัวกรองแบบแอกทีฟ ประกอบด้วย 2 บล็อก หลักๆ ได้แก่ Clark to P-Q Calculation. กับ Inverse Transform ดังรูปที่ 4.4

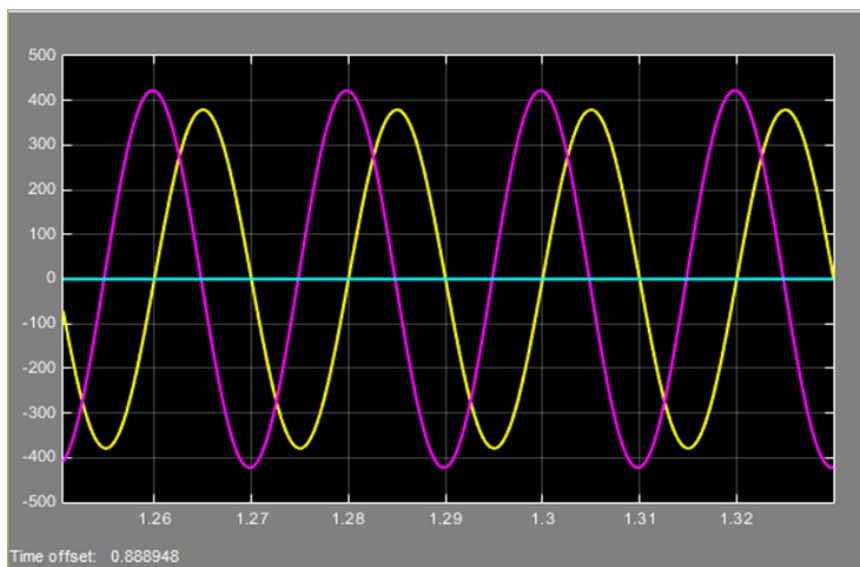


ภาพที่ 4.4 ชุดแอกทีฟฟิวส์เตอร์

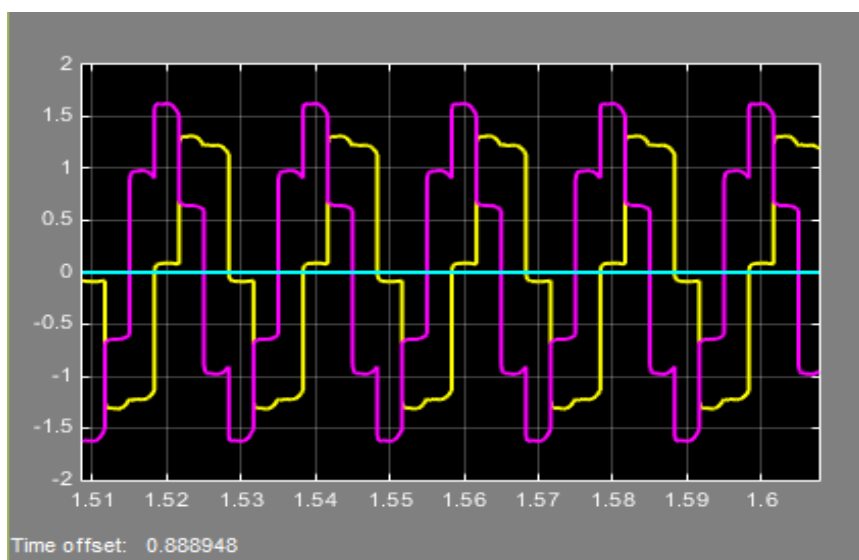
จากหลักการแปลงพิกัดที่ได้นำเสนอในบทที่2โดยสร้างแบบจำลองการคำนวณเวกเตอร์ของแรงดันและกระแสที่อยู่บนแกน 3 เฟส แปลงให้อยู่บนแกน $\alpha\beta 0$ สามารถนำมาเขียนให้อยู่บนโปรแกรม Simulink. ตามรูปที่ 4.5



ก. แบบจำลองการแปลงพิกัด ด้วยวิธี Clark Transformation



ข. คลื่นสัญญาณ $v_{\alpha\beta 0}$

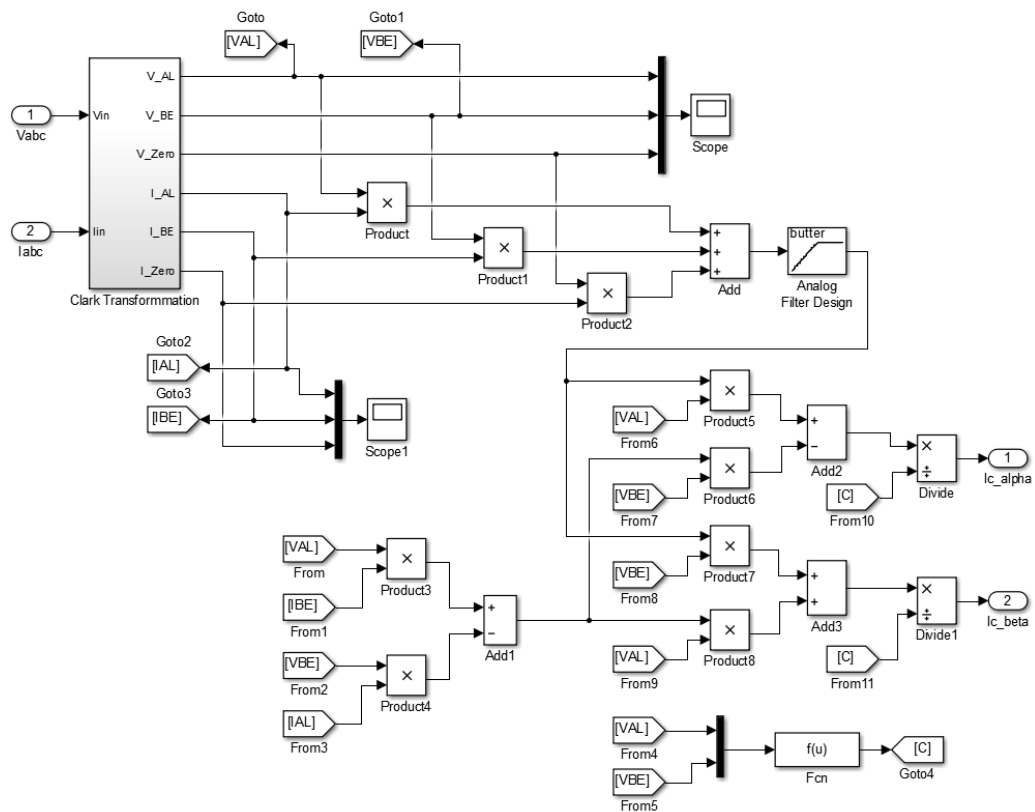


ค. คลื่นสัญญาณ $i_{\alpha\beta 0}$

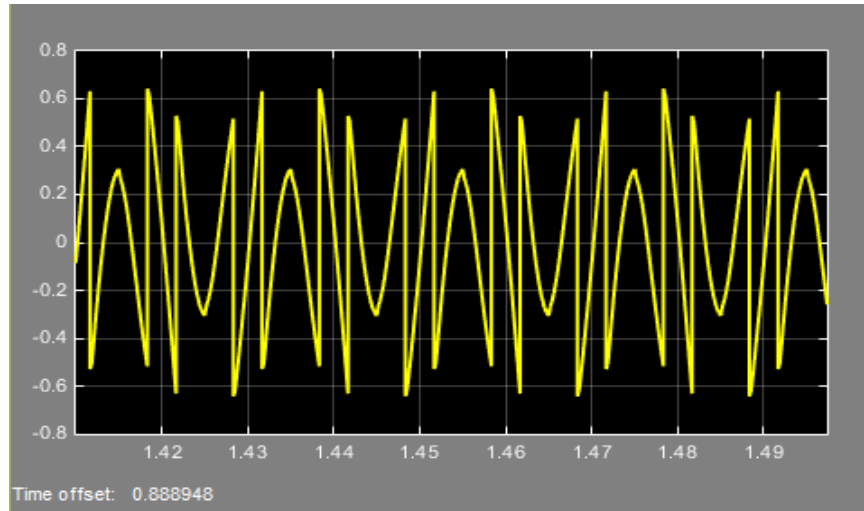
ภาพที่ 4.6 คลื่นสัญญาณแรงดันและกระแสเมื่อผ่านการแปลงเวกเตอร์
ตามทฤษฎี Clark Transformation.

จากภาพที่ 4.6 (a) แสดงถึงแรงดันไฟฟ้าเมื่อแปลงตามทฤษฎี Clark Transformation. ทำให้จาก 3 แกนเหลือ 2 แกนทำมุมกัน 90 องศา และภาพที่ 4.6 (b)) แสดงถึงกระแสเมื่อแปลงตามทฤษฎี Clark Transformation. ทำให้จาก 3 แกนเหลือ 2 แกนทำมุมกัน 90 องศา

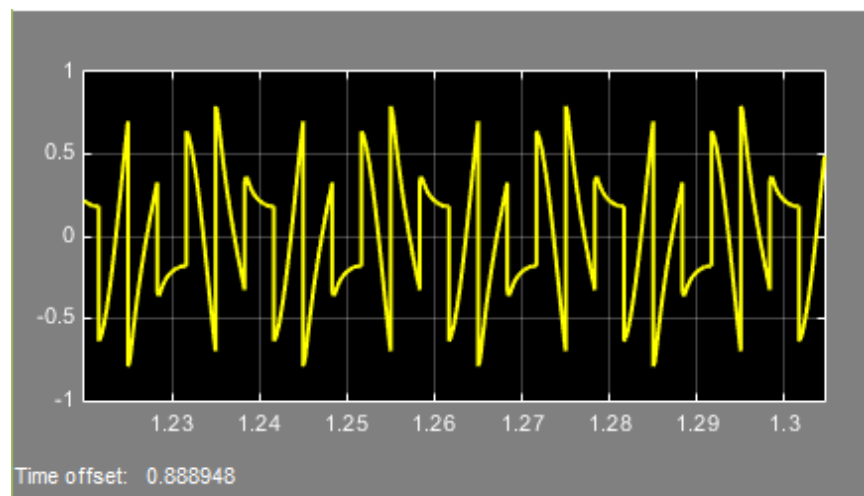
- **แบบจำลองกระแสอ้างอิงของตัวกรองแบบแอกที่พ้ด้วยวิธี P-Q**



ภาพที่ 4.6 ทฤษฎีและหลักการ P-Q บนโปรแกรม Simulink.



ก. รูปคลื่นสัญญาณ i_α



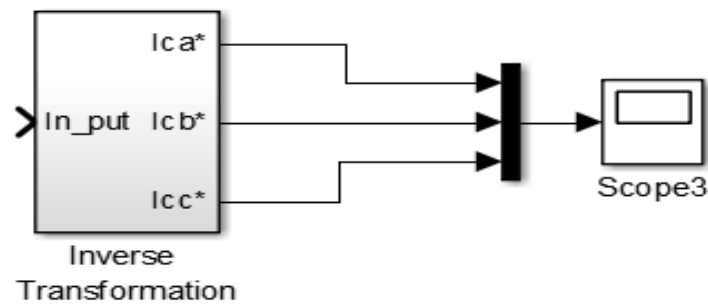
ข. คลื่นสัญญาณ i_β

ภาพที่ 4.7 คลื่นสัญญาณกระแส i_α, i_β เมื่อผ่านการแปลงเวกเตอร์
ตามทฤษฎี P-Q

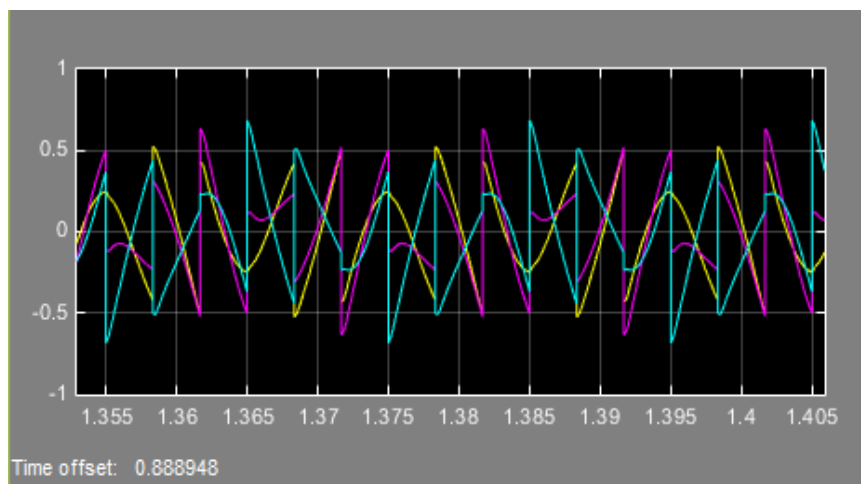
จากรูปที่ 4.7 (a) กระแส i_α, i_β เมื่อผ่านการแปลงพิกัดเรียบร้อยแล้ว เพื่อนำไปแปลงกลับเป็นพิกัด abc เพื่อนำไปเป็นกระแสอ้างอิงเพื่อป้อนให้ ตัวสวิชชิงของอินเวอร์เตอร์ต่อไป แต่ในโครงการนี้ไม่ได้สร้างแบบจำลองของอินเวอร์เตอร์ ดังนั้นนำเสนอเพียงกระแสอ้างอิงเท่านั้น

4.3 แบบจำลองการแปลงกลับจากพิกัด abc กลับเป็น $\alpha\beta$ (Inverse Clark Transformation)

แปลงปริมาณกระแส i_α, i_β บนแกน $\alpha\beta$ ให้เป็นปริมาณปริมาณกระแส $i_{ca}^*, i_{cb}^*, i_{cc}^*$ ให้อยู่บนแกนสามเฟส เพื่อฉีดชดเชยกลับในระบบไฟฟ้า



ภาพที่ 4.8 การแปลงกระแส i_α, i_β บนแกน $\alpha\beta$ ให้เป็นกระแส $i_{ca}^*, i_{cb}^*, i_{cc}^*$

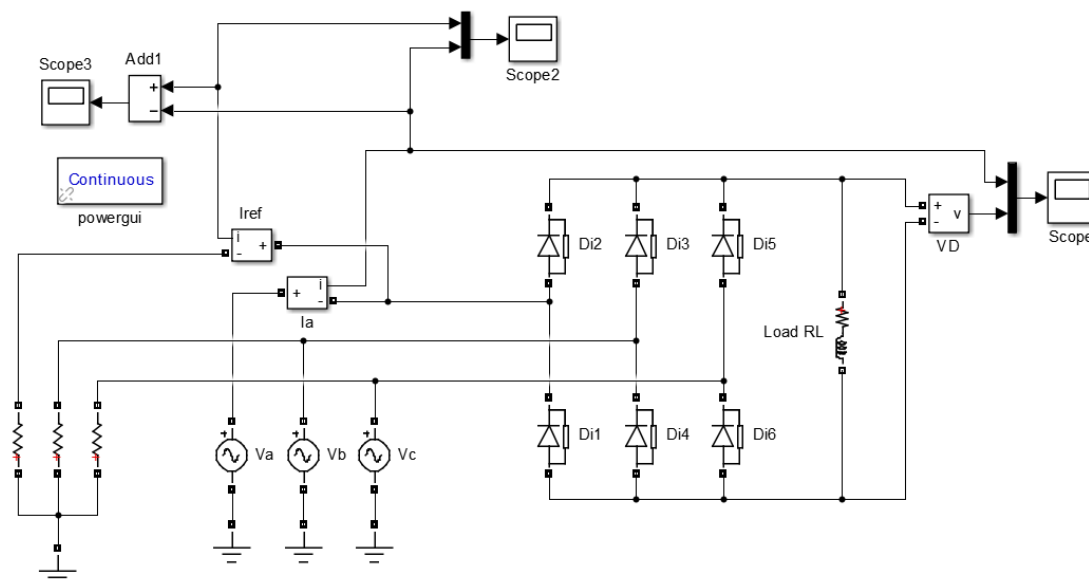


ภาพที่ 4.9 คลื่นกระแส $i_{ca}^*, i_{cb}^*, i_{cc}^*$ สำหรับชดเชยกระแสฮาร์มอนิก

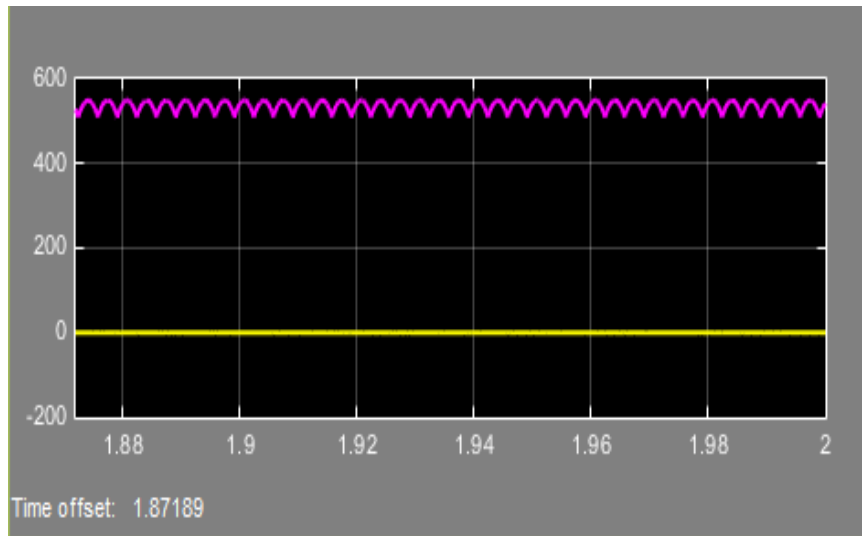
จากภาพที่ 4.9 แสดงสัญญาณของรูปคลื่นที่แปลงกลับจากปริมาณกระแส i_{α}, i_{β} บนแกน $\alpha\beta 0$ ให้เป็นปริมาณกระแส $i_{ca}^*, i_{cb}^*, i_{cc}^*$ ให้อยู่บนแกนสามเฟส เพื่อนัดชดเชยกลับในระบบไฟฟ้า

4.4 แบบจำลองชุดสัญญาณเปรียบเทียบกระแส

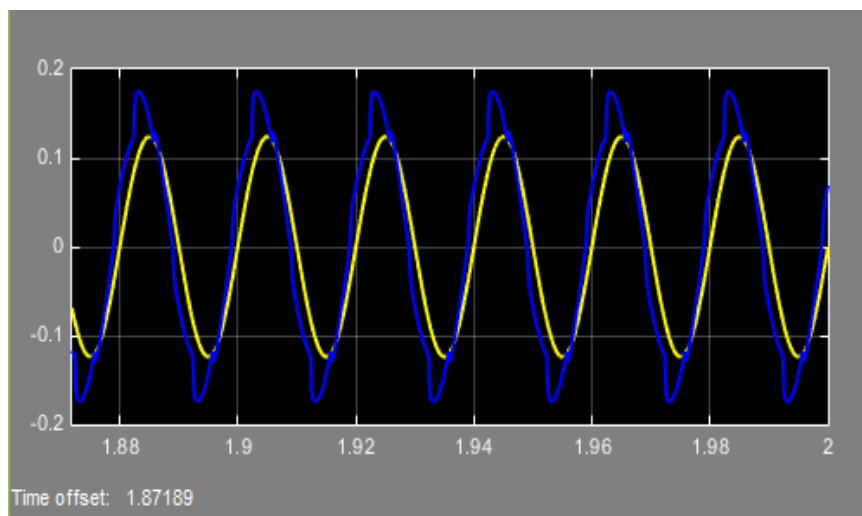
ในหัวข้อนี้ได้นำเสนอการตรวจสอบค่ากระแสอ้างอิงว่าถูกต้องเป็นจริง สามารถนำไปใช้ได้หรือไม่ เพื่อกระแสอ้างอิงจะเป็นการกระตุ้นเพื่อนำไปชดเชยกระแสโหลด ที่ไม่เป็นเชิงเส้นให้กลับเป็นรูปไซน์ในความถี่มูลฐานดั้งเดิมเท่ากับเป็นการกรองกระแสฮาร์มอนิก เหมือนกับตัวกรองแบบพาสซีฟเช่นกันจากผลการวัดหลักการเป็นการทดสอบจ่ายแรงดันที่แหล่งจ่ายให้กับโหลดเชิงเส้นในที่นี้ เป็นโหลดความต้านทาน แรงดันกับกระแสจะอินเฟสกัน ซึ่งมีรูปคลื่นคล้ายกับรูปคลื่นที่เราต้องการเมื่อเอากระแสที่ได้จากการทดลองไปลบกับกระแสโหลดของคอนเวอร์เตอร์ 6 พัลส์ หรือ AC/DC converter เราจะได้รูปคลื่นกระแสเหมือนกับกระแสอ้างอิงที่เราสร้างขึ้นแสดงว่าแบบจำลองที่เราสร้างขึ้นสามารถนำไปใช้ได้จริง



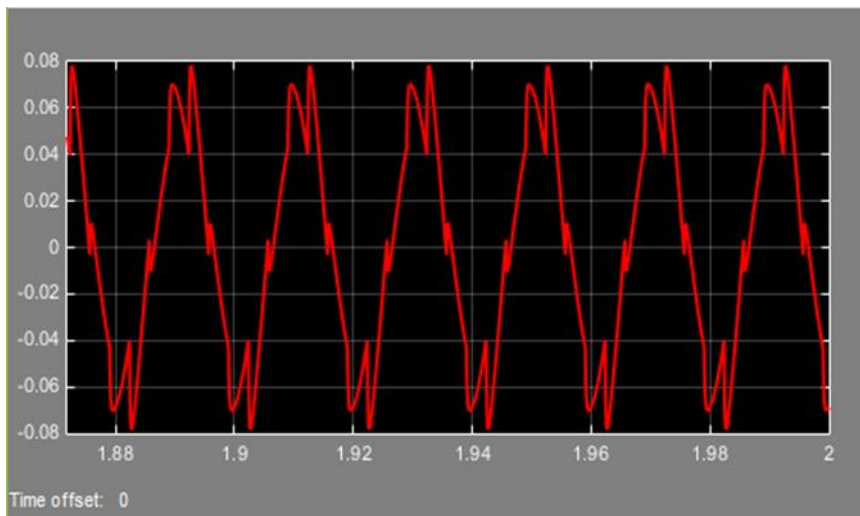
ภาพที่ 4.10 วงจรการสร้างตัวทดสอบผลลัพธ์โดยใช้โหลดความต้านทานหรือโหลดเชิงเส้น



ภาพที่ 4.11 คลื่นของแรงดันของคอนเวอร์เตอร์ที่ขับเคลื่อนโหลด



ภาพที่ 4.12 คลื่นของการนำกระแสอ้างอิงที่สร้างได้ไปบวกกับกระแสโหลดที่ไม่เป็นเชิงเส้น และเปรียบเทียบกับกระแสที่ได้จากการทดลองโหลดความต้านทาน



ภาพที่ 4.13 ผลจากการทดลองรูปคลื่นคล้ายคลึงกับกระแสอ้างอิงที่ได้จากแบบจำลอง

จากผลการทดสอบที่ได้แสดงในภาพที่ 4.12 และภาพที่ 4.13 มีวัตถุประสงค์เพื่อเป็นการยืนยันว่า ผลลัพธ์ที่ได้สร้างขึ้นจากการสร้างกระแสอ้างอิงมีความถูกต้องสามารถนำไปใช้ได้เป็นกระแสอ้างอิงเพื่อจะไปป้อนให้กับอินเวอร์เตอร์ต่อไปในการพัฒนาต่อไปสามารถนำไปสร้างกระแสอ้างอิง โดยใช้ไมโครคอนโทรลเลอร์สร้างเป็นวงจรจริงและสร้างอินเวอร์เตอร์แบบ VSI ใช้เป็นตัวกรองแบบแอคทีฟได้ต่อไป